

07; 12

© 1990

ФАЗОВАЯ МОДУЛЯЦИЯ И СВЯЗЬ МОД В ДВУХМОДОВЫХ ВОЛОКОННЫХ СВЕТОВОДАХ

О.И. К о т о в, О.Л. М а р у с о в, В.М. Н и к о л а е в

Развитие когерентных волоконно-оптических систем (линий связи, датчиков и измерительных устройств) делает актуальным исследование вопроса влияния внешних воздействий на фазовые характеристики распространяющегося излучения. Часто воздействия приводят к изгибам волокна. Возникающие на изгибаах излучательные потери достаточно хорошо изучены [1, 2]. В то же время влияние изгибов на фазу световой волны, на наш взгляд, исследованы недостаточно [3].

В экспериментах регистрация фазовых изменений проводилась по интерференции мод на выходе волокна при его возбуждении когерентным источником ($\lambda = 0,63 \text{ мкм}$) [4]. Бескаркасные волоконные катушки „сплющивались“ в специальном микрометрическом устройстве. Катушки принимали форму, при которой прямые участки волокна чередовались с изогнутыми (рис. 1). Считали, что изогнутые участки представляют собой полуокружности. На изгибаах световода возникает взаимодействие мод, анализ которого проводился на основе известной задачи связи двух мод при постоянном коэффициенте связи [5]. Для нахождения поля на выходе волновода использовали матричный метод [5], в котором полную матрицу передачи катушки можно получить перемножением матриц, соответствующих отдельным участкам с постоянными коэффициентами связи. В нашем случае, очевидно, коэффициент связи принимает два значения: $k = 0$ для прямых участков и $k = k(r)$ для участков с радиусом изгиба r . В расчетах учитывали, что при „сплющивании“ катушки происходит изменение радиуса изгиба r , которое сопровождается изменением длины участка взаимодействия мод ($2\pi r$) и длины прямых участков ($L - 2\pi r$) при постоянной длине всего отрезка $L = 2\pi r_0$ (r_0 – исходный радиус „несплющенной“ катушки).

В результате совместного действия эффекта связи мод, приводящего к перекачке энергии между ними, и изменения длины участка связи, появляется возможность определения разности постоянных распространения двух направляемых мод $A = \beta_1 - \beta_2$. Интенсивность первой моды на выходе световода для одновитковой катушки определяется выражением

$$I \sim |A|^2 = C + \frac{k}{\beta} A_0 B_0 [2 \sin(\frac{A}{2}\pi r_0) \sin(\frac{A}{2}\pi r) - \cos A \pi (r_0 - r)], \quad (1)$$

где A_0 , B_0 – амплитуды мод на входе световода, $\beta = \frac{1}{2} \sqrt{\Delta^2 + 4k^2}$.
 Первое слагаемое в C слабо зависит от r и при $k=0$ равно A_0^2 .
 Остальные слагаемые малы по сравнению с C (порядка $\frac{k}{\beta}$), но
 быстро осциллируют при изменении r . Имеются две частоты ко-
 лебаний модовой интенсивности, что связано с наличием двух изог-
 нутых участков. Измеряя период осцилляций δr интенсивности од-
 ной из мод, можно определить $\Delta = \frac{2}{\delta r}$. В экспериментах строилось
 увеличенное изображение выходного торца волокна и регистрирова-
 лось изменение светового потока в области, где амплитуда поля
 одной из мод близка к нулю. В двухмодовом режиме это соотве-
 тствует области диаметральной прямой, на которой поле $L\rho_{11}$ моды
 обращается в ноль. Эти измерения (рис. 1) позволили определить
 величину $\Delta = 32.4 \cdot 10^3 \text{ м}^{-1}$ для исследуемого типа световода.

Вторым следствием связи двух мод на изгибе волокна после
 эффекта перекачки энергии мод является изменение фазовых соот-
 ношений между ними [3]. Анализ показывает, что моды при про-
 хождении изогнутого участка получают равные по величине, но про-
 тивоположные по знаку фазовые добавки, пропорциональные $\frac{k^2}{\Delta}$.

Следовательно, изгиб волокна приводит к дифференциальной фазовой
 модуляции [4], глубина которой определяется изменением радиуса
 изгиба.

Зная Δ , можно найти экспериментально коэффициенты связи
 двух мод на изгибах световода. Значение $k(r)$ зависит от формы
 профиля показателя преломления сердцевины световода, но в общем
 случае коэффициент связи мод обратно пропорционален радиусу из-
 гиба волокна: $k(r) = \frac{k_0}{r}$ (k_0 – постоянная, независящая от r и
 определяемая параметрами световода [2]). Реальные волокна имеют
 профили показателя преломления, отличные от ступенчатого и па-
 болического, при которых можно получить аналитическое выражение
 для $k(r)$. Поэтому экспериментальное нахождение коэффициента
 $k(r)$, а точнее k_0 при известном r , представляется весьма по-
 лезным. Для этого можно измерить интенсивность интерференцион-
 ной картины выходного излучения световода при различных r в
 области, где электрические составляющие полей обеих мод пример-
 но равны. Если считать диафрагму перед приемным устройством
 „точечной”, то выражение для интенсивности регистрируемого света
 имеет вид

$$I \sim A_0^2 \cdot \left[1 + \cos \left(2\pi r_0 N + \frac{4\pi N k_0^2}{r \cdot \Delta} \right) \right], \quad (2)$$

где N – число витков в волоконной катушке.

Как и в предыдущем случае, изменение радиуса изгиба вызывает
 периодические локальные изменения интенсивности интерференцион-
 ной картины (рис. 2, а). Однако эти изменения более медленные,

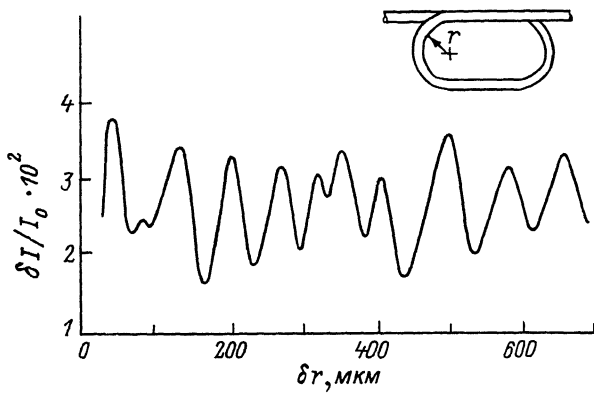


Рис. 1. Зависимость относительной величины „быстрых” пульсаций интенсивности света от радиуса изгиба световода в одновитковой волоконной катушке (I_0 – средняя интенсивность, $r_0 = 14$ мм).

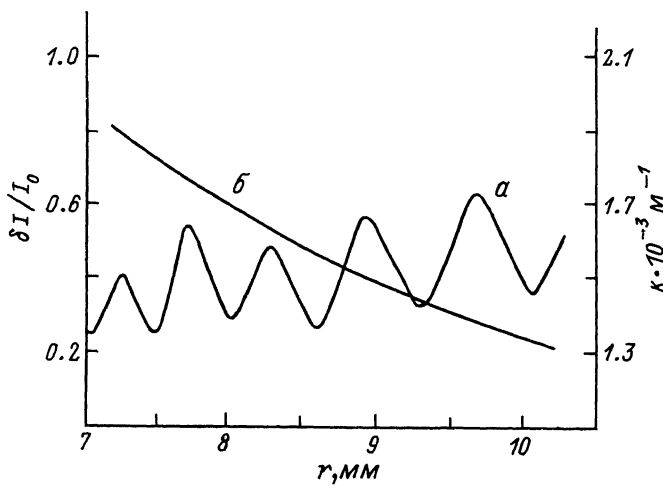


Рис. 2. Зависимость относительной величины „медленных” пульсаций (а) и коэффициента связи мод (б) от радиуса изгиба световода r ($r_0 = 14$ мм, $N = 10$).

а глубина модуляции интенсивности может достигать 100 %. Переход от одного максимума к соседнему соответствует изменению разности фаз на 2π . Период повторения максимумов интенсивности света определяется величиной $\delta r = r' - r'' = \frac{\Delta}{2Nk_0^2}$. Измерив δr по известным N и Δ , находим

$$k(r) = \frac{k_0}{r} = \sqrt{\frac{\Delta}{2N\delta r}}. \quad (3)$$

В данном случае коэффициент связи введен для среднего радиуса изгиба световода $r = \sqrt{r' \cdot r''}$ (рис. 2, б). Отметим, что величины найденных нами коэффициентов связи мод хорошо согласуются с $k(r)$, рассчитанными по формулам работы [2] для двухмодового ступенчатого волокна.

Экспериментально исследовался режим гармонической фазовой модуляции, вызываемый изменениями радиуса изгиба световода. Если считать, что при этом коэффициент связи меняется по закону $k = k_1 + \delta k \sin(\Omega t)$ ($\delta k \ll k_1$), то выражение для составляющей интенсивности света, промодулированной с частотой Ω записывается в виде

$$I_{\Omega} \sim A_0 \cdot B_0 \cdot \sin \left[L \left(1 - \frac{2k_1^2}{\Delta} \right) \right] J_1 \left(4k_1 L \frac{\delta k}{\Delta} \right), \quad (4)$$

где L – длина световода, J_1 – функция Бесселя.

Фазовая модуляция осуществлялась с помощью пьезокерамического или электромеханического преобразователя на частотах до 1 кГц, при этом достигались индексы модуляции до $m=10$. Следует отметить, что для достижения такого же индекса модуляции при растяжении волоконного световода необходима большая на порядок механическая энергия.

Фазовые эффекты, обсуждаемые выше, являются более существенными, чем поляризационные и амплитудные. Так, интенсивность света на выходе световода монотонно изменяется не более чем на 5 % во всем диапазоне изменений r . Влияние наведенного при изгибе двуплучепреломления проявилось в изменениях глубины модуляции сигнала фазовой модуляции. Измерения сигналов поляризационной модуляции полного светового потока после прохождения световода показали, что период изменения состояния поляризации по r в 5–7 раз превышает период сигналов фазовой модуляции.

Список литературы

- [1] Маркузе Д. Оптические волноводы. М.: Мир, 1974. 576 с.
- [2] Унгер Х.Г. Планарные и волоконные оптические волноводы. М.: Мир, 1980. 656 с.
- [3] Taylor A.F. // J. of Light. Techn. 1984. V. 2. N 5. P. 617–628.

- [4] Kingsley S.A. Elect. Let. 1978. V. 14. N 11
P. 335-337.
[5] Ярив А., Юх П. Оптические волны в кристаллах. М.:
Мир, 1987. 616 с.

Ленинградский политехнический
институт им. М.И. Калинина

Поступило в Редакцию
8 января 1990 г.

Письма в ЖТФ, том 16, вып. 7

12 апреля 1990 г.

01; 11

© 1990

РОЛЬ ЗАПАЗДЫВАНИЯ ЭКРАНИРОВКИ ЭЛЕКТРОНА,
ДВИЖУЩЕГОСЯ НАД ПОВЕРХНОСТЬЮ ПРОВОДНИКА,
В ПЕРИОДИЧЕСКИХ ОТКЛОНЕНИЯХ ОТ ЛИНИИ ШОТТКИ

Е.Ж. Зиманов

Как известно, график зависимости $I_n J = f(\sqrt{E})$, где J - плотность термоэмиссионного тока и E - напряженность внешнего тягущего поля, представляет собой прямую линию, так называемую линию Шоттки. При этом в экспериментах с использованием полей $E \geq 10^6$ В/м наблюдаются отклонения от этой линии [1-4], приближенно описываемые соотношением [5]:

$$\lg \frac{J}{J_{RS}} = C |\mu_p| \frac{E^{\frac{2}{3}}}{kT} \sin \left(\frac{4}{3} E^{-\frac{1}{4}} + \arg \mu_p + \varphi \right), \quad (1)$$

где J_{RS} - плотность тока по Ричардсону-Шоттки, μ_p - комплексный коэффициент отражения на барьере в окрестности поверхности, а C и φ - величины, слабо изменяющиеся с изменением поля E . Это явление объясняется [6] резонансным отражением на двух участках барьера: поверхность проводника ($x=0$) и максимум барьера ($x=x_m$), формируемого полем сил изображения и внешним полем. С качественной точки зрения такое объяснение не вызывает сомнений, но положение экстремумов теоретической кривой, полученной на основе модельных расчетов [7-8], оказывается смещенным по сравнению с экспериментальными кривыми примерно на четверть периода в сторону меньших полей. Обычно предполагалась возможность корректировки с помощью модификации барьера в окрестности поверхности проводника. Но одна конкретная попытка такой модификации барьера [9] была отвергнута машинными расчетами [10]. В связи с этим в настоящей работе предлагается совершенно иной подход, связанный с изменением барьера за пределами проводника.